



(a, b, c は指数,  $\mu$ : 粘性係数) といわれているが  $\mu$  よりも初期空ゲキ率による影響の方が無視できないと考  
えて式(13)のようにおくと、抑留が始まった後は、 $\lambda_0 = \frac{C}{V^a d^b \rho^c}$  ( $C$ : 定数) (13)  
式(14)でろ過係数を評価するこができる。 $\lambda = \lambda_0 \left(\frac{\rho_0}{\rho - \sigma}\right)^c \left\{ \frac{1}{2} \left( 1 + \sqrt{1 + \frac{4}{3} \frac{\sigma}{\rho - \sigma}} \right) \right\}^{-b}$  (14)

### 3. 実験

表-1 実験条件および測定項目

ブロックの物理的諸量の定量化お  
よびろ過係数と  $V, d, \rho$  との相関性を  
実験的に把握する。実験は、凝集試  
験とろ過実験に大別して実施した。

#### 3-1 実験条件および方法

条件および測定項目は表-1にま  
とめて示した。凝集試験は試料1L  
をビーカーにとり、ジャーテスター  
で実施した。ろ過筒は、内径20.5cm  
の透明なアクリル製の円筒において、砂層厚は40~60cm。  
砂上水深は約97~117cmである。ブロックの物理的諸量は、  
まず土粒子の比重試験法に準拠してブロック粒子の比重を  
測定し、次式により算出した。

$$\rho_s = \rho_w \cdot G_s \quad (15)$$

$$V_s = W / \rho_s \quad (16)$$

$$\rho_r = (V_1 - V_2) / V_1 \quad (17)$$

$$C = V_s / V_0 \quad (18)$$

$$\rho = (\rho_w \cdot V_1 \cdot \rho_r + W) / V_1 \quad (19)$$

$\rho_s$ : 20°Cの水の密度(9%)  
 $G_s$ : ブロック粒子の比重(-)  
 $V_s$ : " の実質体積( $\text{cm}^3$ )  
 $W$ : " の乾状重量(g)  
 $V_1$ : " の沈降体積( $\text{ml}$ )  
 $\rho$ : " のみかけ密度(%)  
 $V_0$ : 試料水の体積( $\text{cm}^3$ )

砂層内濃度測定用の試料は、ろ過筒の側面にある5cm間隔の  
マノメーター接続ノズルから砂層内の流れを攪乱しないように  
ろ速と等しい流速で採水した。

#### 3-2 実験結果および考察

##### 3-2-1 薬注量とブロックの物理的諸量との関係(図-2)

ブロックの実質密度  $\rho_s$  (●) は硫酸バンド注入量に対して一  
様傾向は認められず、2.55~2.80  $\text{g}/\text{cm}^3$  の値を示している  
それに対して、みかけの密度  $\rho$  (○) はバンド量の増加に伴って  
減少しており、ブロックが大きくなると  $\rho_r$  (θ) が大きくなる  
という結果と合わせて考えると、ブロックは大きくなるにしたが

	凝集試験	ろ過実験	
		ケース 1	ケース 2
原水濁質	カオリン 100 mg/l	カオリン 100 mg/l	
凝集剤	硫酸バンド	硫酸バンド	
注入量	5, 7.5, 10, 12.5, 15, 20 ppm	10 ppm (マイクロブロック形式)	
攪拌条件	急速 100 r.p.m. 70秒	ろ速	150, 180, 210, 240, 270 $\text{m}^3/\text{day}$
	緩速 8~12 r.p.m. 15分		150, 270 $\text{m}^3/\text{day}$
測定項目	ブロック 実質密度 みかけ密度 体積濃度 内空ゲキ率	ろ過砂	幾何平均径 $\text{mm}$ 0.46, 0.54, 0.65, 0.77, 0.92
			均等係数 1.00
測定項目	初期空ゲキ率	40~50% 内 5% 選択	46.9%
	砂層内濃度分布		
	損失水頭		
	流入水水温		
	ブロック 実質密度 みかけ密度 内空ゲキ率 実質比堆積		

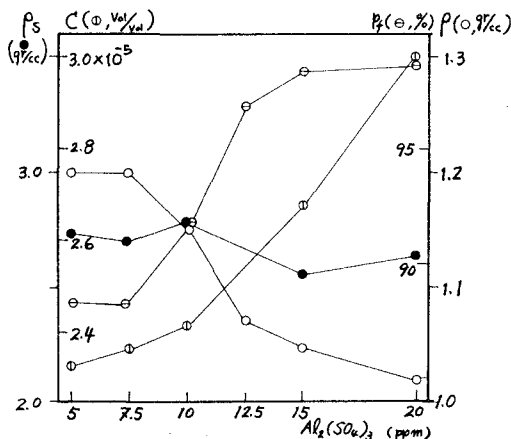


図-2 薬注量とブロックの物理的諸量との関係

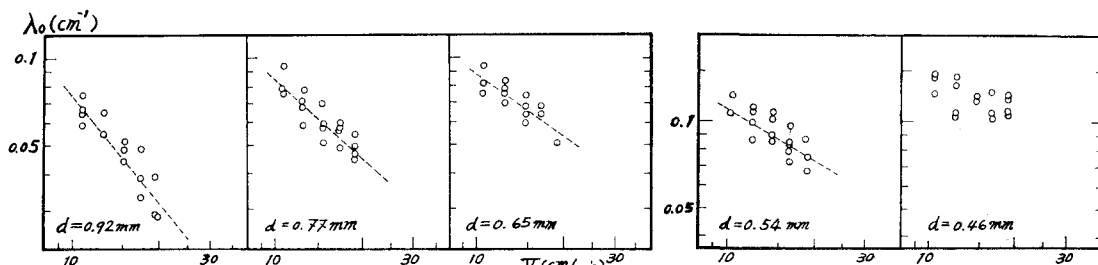


図-3  $\lambda_0$  と  $V$  との関係

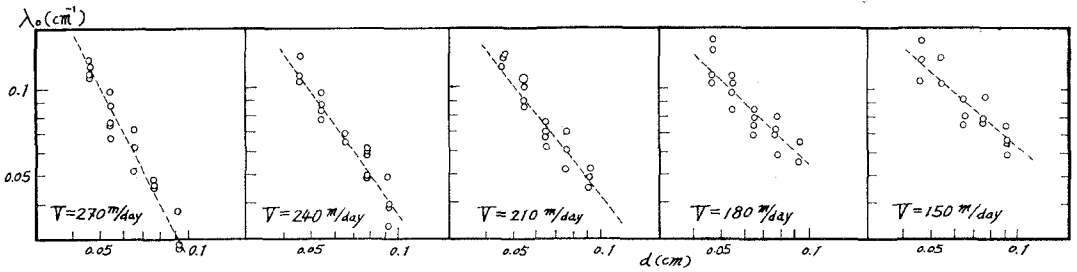


図-4  $\lambda_0$  と  $d$  との関係

ってフロック内の空ゲキ率が増加し、みかけの密度を低下させていることが明確である。フロック内の空ゲキ率は88%~99%と極めて高く、二の中に存在する水がろ速程度の水の流動に際して如何に挙動するかは一つの残された課題である。なお、 $C(0)$ は薬注量の増加に伴ってほぼ一様に増加する。

### 3-2-2 $\lambda_0$ と $V, d, P_0$ との相関性について

$P_0 = 40 \sim 50\%$  における  $\lambda_0$  と  $P_0$  の相関性は  $V$  や  $d$  に比較して低く、また、 $P_0 > 50\%$ ,  $P_0 < 40\%$  に設定するときは困難なため、 $P_0$  を無視しても良いと考えられる。図-3は、 $\lambda_0$  と  $V$  の関係を  $d$  をパラメータとして示し、図-4は  $\lambda_0$  と  $d$  の関係を  $V$  をパラメータとして示したものである。

図から  $d$  および  $V$  が大きくなるにしたがって  $\lambda_0$  が低下するこが認められる。この結果から式(13)の  $V$  および  $d$  の指数  $a, b$  の変化を図示したのが図-5である。図より、

$V = 150 \sim 270 \text{ m/day}$  で、 $d$  の指数  $b = 0.9 \sim 1.8$

$d = 0.46 \sim 0.92 \text{ mm}$  で、 $V$  の指数  $a = 0.2 \sim 1.3$

までほぼ一様に変化するこが明らかになった。

### 3-2-3 比堆積の砂層内分布

図-6は動水勾配比の実験結果をもとに式(11), (12)から算出した比堆積  $\sigma$  の分布の時間的変化とろ過停止後の砂層内抑留量の測定値を示したものである。式(11)と式(12)の差違はほとんどないが、 $\sigma$  の実測結果から算出したのの値と比較しはがら概ね一致する。砂層表層部では大きく、衣層部では小さく評価するようである。

ただし、 $\sigma$  の実測は極めて困難で、 $\sigma$  の評価が結局、 $\sigma$  の値に多大な影響を及ぼすこにはなるのでこの点さらに検討を要するこである。

### 4. おわりに

今後、前述のような課題に取り組んでいくとととに、フロックの特性を考察したろ過係数の支配因子の定量化、砂層内の抑留量およびフロック内の空ゲキ率の評価等について検討を進めていきたい。なお、講演時には、前述したろ過方程式の数値計算の結果も合わせて発表する予定である。

最後に、昼夜問わず実験データ整理に協力してくれた東北大学学生 河合秀俊、神林孝雄の両君に謝意を表す。

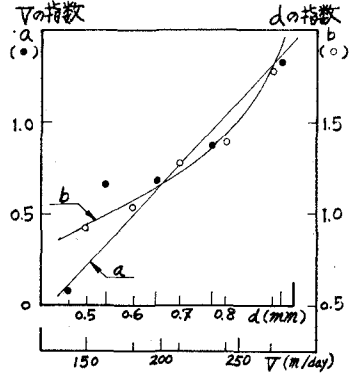


図-5  $a, d, b$  と  $V$  との関係

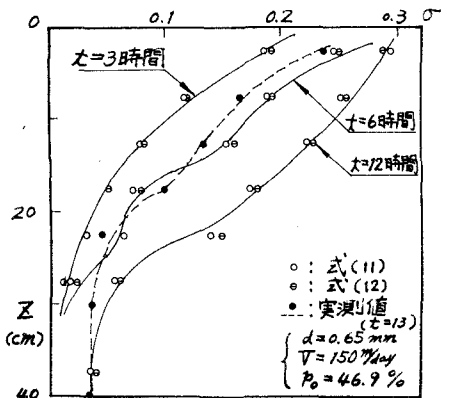


図-6 (a)  $\sigma$  の分布の時間的変化

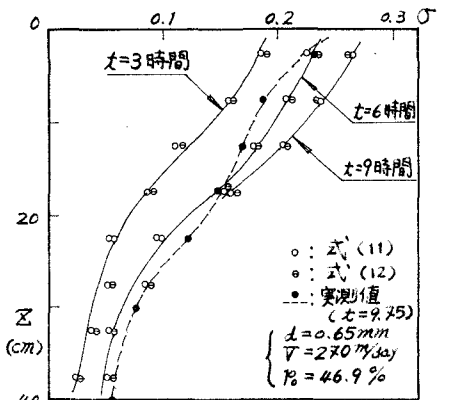


図-6 (b)  $\sigma$  の分布の時間的変化